



Instituto Geológico
y Minero de España

Documentación complementaria MAGNA

Álbum Fotográfico

Isla de Menorca
hoja E. 1:25.000

Ciudatella

618 III-IV (82-48)



1001. Bahía de Fornells. En la parte derecha de la diapositiva, la Mola de Fornells constituida por un basamento liásico y una cobertera de dunas de Cuaternario inferior. Los relieves de la parte izquierda de la diapositiva, donde está situado el pueblo están fundamentalmente formados por materiales devónicos.



1002. Turbiditas devónicas en un solar del extremo S del pueblo de Fornells.



1003. Bahía de Fornells, margen SW. Serie pérmica. Detalle de una capa con climbing ripples.



1004. Bahía de Fornells, margen SW. Serie pérmica. detalle de estratificación cruzada.



1005. Cala Tirant. Explotación de arenas subactuales.



1006. Desembocadura del torrente de Cala Tirant. Pequeño delta retrabajado por el oleaje.



1007. Cap de Cavalleria. Bils d'en Cent. Cuaternario inferior, dunas y suelos, sobre un basamento de dolomías liásicas. Pequeño graben con Mioceno.



1008. Faro de Cavallerfa. Cuaternario inferior, dunas y suelos, sobre un basamento de dolomías liásicas.



1009. Punta des Vernfs. Detalle de las calizas bioturbadas del Muschelkalk.



1010. Punta des Vernfs. Nódulos de sílex del techo del Muschelkalk.



1011. Binimel-là. S'Escull des Francés. Debris flow. Panoràmica general.



1012. Binimel-là. S'Escull des Francés. Debris flow. Detalle.



1013. Binimel-là. Panoràmica general de la cala. Al fondo Cala Pregonda.



1014. Binimel-là. Pliegues en radiolaritas.



1015. Binimel-là. Cabalgamiento de las turbiditas carboníferas sobre el Buntsandstein.



1016. Es Mercadal. Mont Negre (según payeses). Radiolaritas plegadas.



1017. Cala Pregonda. Vista general de la cala. Los escollos están formados por cuarzoqueratófiro.



1018. Pregondó. Detalle del cabalgamiento de las turbiditas carboníferas sobre las areniscas del Buntsandstein.



1019. Cala Pregonda. Escollos de quarzoqueratófiro.



1020. Cala Barril. Vista general. Las masas de cuarzoqueratófiros de coloraciones amarillentas están incluidas en turbiditas de Carbonífero (colores gris oscuro).



1021. Santa Agueda. Areniscas del Buntsandstein inferior.



1022. Margen occidental de Cala Calderer. Turbiditas carboníferas y dunas cuaternarias.



1023. Carretera de Maó a Ciutadella bifurcación Cala Pilar. Cantera de explotación de dolomías del Lías para áridos.



1024. Alfurinet, Penyal de l'Anticrist. Dique de roca volcánica atravesando las areniscas del Buntsandstein inferior.



1025. Alforinet, Penyal de l'Anticrist. Dique de roca volcánica atravesando las areniscas del Buntsandstein inferior. Detalle de la ramificación y terminación del dique.



1026. Cala Carbó. Vista general de la cala. Pérmico y Triásico inferior.



1027. Cala Carbó. Serie pérmica. Detalle de una duna fluvial.



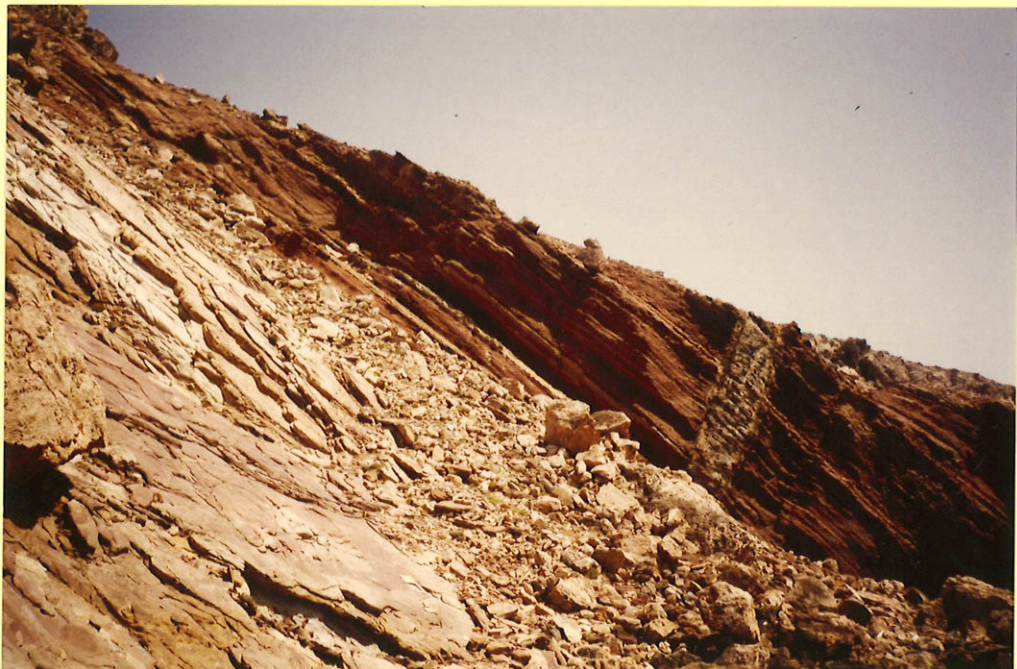
1028. Panorámica de Algaiarens y Cala Carbó. Pérmico y Buntsandstein.
En primer término las dolomías del Lías de Curniola.



1029. Sa Punta Rotja de Algaiarens. Buntsandstein. En primer término S'illot de ses biujoles del Muschelkalk superior.



1030. Algairens. Sa Punta Rotja. Detalle de la serie del Buntsnadstein.



1031. Algairens. Sa Punta Rotja. Serie del Buntsandstein atravesada por un dique de rocas volcánicas.



1032. Codolar miocénico de Biniatram y Curniola. Una rasa bien desarrollada sobre la seire liásica.



1033. Explotación de las dolomías jurásicas en Son Planas.



1034. Cala Morell. Panorámica de la cala. Al fondo los relieves jurásicos. Al centro falla pre-miocénica fosilizada por los conglomerados de la unidad basal del Mioceno menorquín.



1035. Cala Morell. Margen occidental. Contacto entre la unidad basal conglomerática y la intermedia calcarenítica del Mioceno.



1036. Cala Morell. Extremo NW de la cala. Unidad Basal conglomerática y unidad calcarenítica intermedia del Mioceno.



1037. Punta des Llosar. Playa formada por areniscas de granos de dolomita y de cuarzo. Unidad calcarenítica intermedia del Mioceno.



1038. Punta des Llosar. Ciclos de playa formados por areniscas de granos de dolomita y de cuarzo. Unidad calcarenítica intermedia del Mioceno.



1039. Punta Nati. Alrededores del faro. Dolomías jurásicas carstificadas con "nidos" de conglomerados.



1040. De Bajoli a Punta Nati. Plataforma miocénica que fosiliza un relieve cárstico modelado sobre dolomías del Jurásico. El Mioceno soporta una rasa importante. En el extremo de la derecha de la diapositiva, prolongación del cuerpo arrecifal messiniense de Bajoli.



Foto 1101. Binimel-là. Masa olitostrómic. Calizas eslampizadas de la base del Carbonífero. S. Cala Mica.



Foto 1102. Binimel-là. Masa olistostrómica. Calizas eslumpizadas de la base del Carbonífero y, en la parte inferior de la foto, pizarras rojo vinosas de la misma edad. S. Cala Mica.



Foto 1103. Binimel-là. S'escull des Francés. Serie de la masa olistostrómic: en la parte inferior turbiditas del Carbonífero, pizarras rojo vinosas y radiolaritas, en la parte media debris flow y en la parte superior calizas.



Foto 1104. Binimel-là. Masa olistostrómic. La mitad superior calizas y la mitad inferior pizarras rojo vinosas. Carbonífero inferior.



Foto 1105. Binimel-là. Masa olistostrómica. Pizarras rojo vinosas y calizas con crinoides. Carbonífero inferior.



Foto 1106. Binimel-là. Masa olistostrómica. Serie de S'escull des Francés. En la parte inferior radiolaritas, en la parte media debris flow que soporta las calizas y pizarras rojo vinosas y en la parte más alta turbiditas devónicas muy eslampizadas.



F-1107



F-1108



Fotos 1109. Binimel-là. Masa olistostrómic. Carbonífer inferior. Radiolaritas.



Fotos 1110 y 1111. Binimel-là. Masa olistostrómica. Pliegues en turbiditas devónicas.



Foto 1112. Cala Morell. En la parte superior de la fotografía dolomías liásicas fracturadas. El escarpe de falla fosilizado por los conglomerados de la unidad basal del Mioceno.



Foto 1113. Cala Morell. Contacto entre las unidades basal conglomerática y calcarenítica intermedia del Mioceno.



Foto 1114. Cala Morell. Cul de Sa Ferrada. En la parte izquierda de la fotografía dolomías jurásicas. El resto corresponde al Mioceno: la unidad más inferior rojiza es la conglomerática basal; la intermedia amarillenta es la calcarenítica y la superior gris claro la carbonático-arrecifal. Las superficies de separación entre ellas son sendas discordancias.



Foto 1115. Sa punta des Llosar. Detalle de los rodolitos (obsérvese su enorme tamaño) de la unidad arrecifal superior del Mioceno.



Foto 1116. Sa punta des Llosar. Ciclos de playa en la unidad calcarenítica intermedia, cubiertos en discordancia por los conglomerados y calizas con rodolitos de la unidad superior del Mioceno.



Foto 1117. Sa punta des Llosar. Contacto discordante entre las unidades intermedia calcareníticas (amarillenta) y la arrecifal superior del Mioceno.



Foto 1118. Faro de Punta Nati. Rasa modelada sobre depósitos jurásicos.



Foto 11:19. Punta Nati. Rasa modeladas sobre depósitos jurásicos con desarrollo de un carst fosilizado sobre el Mioceno.



Foto 1120. Bajolí. Contacto entre el Jurásico (parte inferior de la fotografía) y la unidad arrecifal del Mioceno (parte superior de la fotografía).



Fotos 1121 y 1122.

Explotación en las inmediaciones de Ciutadella de las calcarenitas de la unidad intermedia del Mioceno.



Fotos 1123 y 1124.

Rasa modelada sobre materiales miocénicos y jurásicos entre Bajoli y Punta Nati (último plano de la fotografía en su extremo izquierdo).



Foto 1125. Bajolí. Hardground desarrollado sobre dolomías jurásicas y fosilizado sobre la unidad arrecifal superior del Mioceno.



Foto 1126. Bajoli. A la derecha de la foto, rasa modelada sobre las dolomías jurásicas. A la izquierda masa arrecifal de la unidad superior del Mioceno.